

УДК 658.012:681.32:621.38

*Л.И. Тимченко, В.В. Шпакович, Н.И. Кокряцкая, А.А. Герций*

Государственный экономико-технологический университет транспорта, г. Киев, Украина  
timchen@svitonline.com

## Разработка избыточной схемы обработки изображений по четырем направлениям

В статье разработан метод избыточной схемы обработки изображений по четырем направлениям, приведена блок-схема алгоритма избыточного уравнивания, результаты экспериментальных исследований.

### Введение

В результате уравнивания областей изображения по четырем направлениям формируются четыре результата сравнения уравнивающих кривых, которых не всегда достаточно, чтобы точно оценить результат распознавания. Поэтому с целью получения более достоверных выходных данных необходимо увеличить число сравниваемых в результате уравнивания областей изображения. Для этого предлагается следующая схема формирования областей изображения для формирования кривых уравнивания.

### Уравнивание областей изображения

На первом этапе автоматически выделялся контур изображения объекта так, как это изложено в работах [1], [2], в соответствии с порогом, который адаптирован к самому изображению, и проводилась фильтрация фона изображения, а затем реализовалась обработка (уравнивание) пикселей (или связностей пикселей), которые лежат внутри контура полутонового изображения объекта. На втором этапе определялись точки пересечения выделенного контура изображения объекта с горизонтальной, вертикальной и двумя наклонными осями. Далее проводилось рекурсивное формирование областей для операции уравнивания путем поворота семи областей изображения на угол  $k \times 45^\circ$ , где  $k = 1 \div 8$ . Причем первый шаг рекурсии включал начальное уравнивание одной из избранных областей изображения и семи других областей, повернутых на угол  $\alpha = k \times 45^\circ$ . Очевидно, число таких операций уравнивания определяется числом сравниваемых областей изображения (на первом шаге их восемь). На каждом следующем шаге рекурсии проводилось уравнивание каждой следующей области изображения и соответственно семи, шести, пяти, четырех, трех, двух и одной областей, повернутых на угол  $k \times 45^\circ$  с соответствующим изменением переменной  $k$  на каждом шаге рекурсии –  $k = 1 \div 7$ ,  $k = 1 \div 6$ ,  $k = 1 \div 5$ ,  $k = 1 \div 4$ ,  $k = 1 \div 3$ ,  $k = 1, 2$ ,  $k = 1$ . Причем уравнивание начальной и повернутых областей изображения ограничено точками пересечения выделенного контура с соответствующими осевыми линиями. Число операций уравнивания на каждом следующем шаге рекурсии будет на единицу меньше предыдущего шага, что обусловлено повторным уравниванием одной пары областей изображения. Таким образом, число операций уравнивания будет  $N = 8 + 7 + 6 + 5 + 4 + 3 + 2 + 1 = 36$ .

На рис. 1 приведена блок-схема алгоритма избыточного уравнивания. Два изображения ( $A^{<t>$ ,  $t = 1, 2$ ) последовательно обрабатываются в ходе работы алгоритма.

Задаются начальные данные:  $NP = 8$  – число поворотов,  $ANGP = 360/NP$  – указывает, сколько градусов на поворот. Считывается изображение  $A^{<t>$ . У BMP запоминаем текущее изображение  $A^{<t>$ . С помощью процедуры уравнивания Normalize находим центры изображений ( $x_c^{<t>}$ ,  $y_c^{<t>}$ ).

Каждое изображение образует на 8 шагах рекурсии набор из 36 изображений. Так при  $k = 0..7$  шагах рекурсии на  $k$ -м шаге образуется  $(8 - k)$  изображений ( $j = 0..7 - k$ ). Изображение  $A_{kj}^{>t}$  образуется следующим образом: левая часть ( $x < x_c^{<t>}$ ), образованная изображением  $A^{<t>$ , возвращенным на угол  $k \times 45^0$  (т.е.  $A_{k,0}^{>t}$ ) вокруг центра ( $x_c^{<t>}$ ,  $y_c^{<t>}$ ); правая часть – левая часть изображения  $A_{k,0}^{>t}$ , повернутого еще на  $j \times 45^0$  вокруг центра ( $x_c^{<t>}$ ,  $y_c^{<t>}$ ).

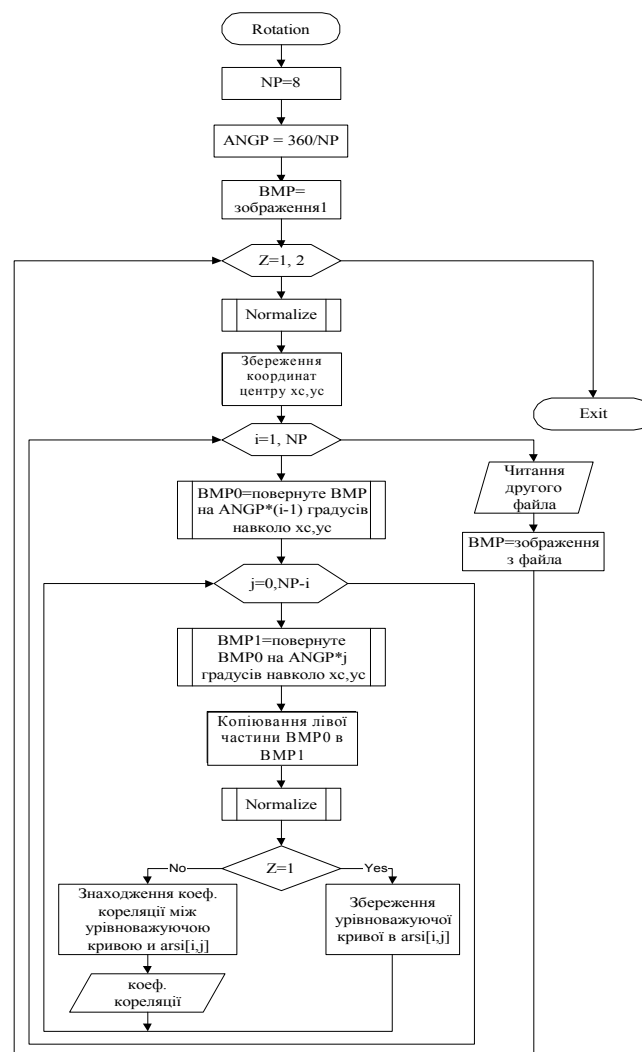


Рисунок 1 – Блок-схема алгоритма избыточного уравнивания

Таким образом, образуется изображение, сформированное из разных частей текущего изображения.

Дальше для каждого изображения из набора проводится нормализация (процедура Normalize) с получением уравнивающих кривых и находятся коэффициенты кор-

реляции между уравнивающими кривыми первого уровня рекурсии

$$0 > \text{ и } 1 >$$

$$A_{k,j} \quad A_{k,j}$$

$$N_y^0 \quad N_y^0$$

На рис. 2 представлены результаты обработки изображений лиц по методу избыточного уравнивания.

Пример № 1. Обработка по алгоритму избыточного уравнивания изображений человеческих лиц с разной мимикой, в результате чего получают коэффициенты корреляции при повороте изображений: AGJ\Agj-01.bmp; AGJ\Agj-02.bmp.

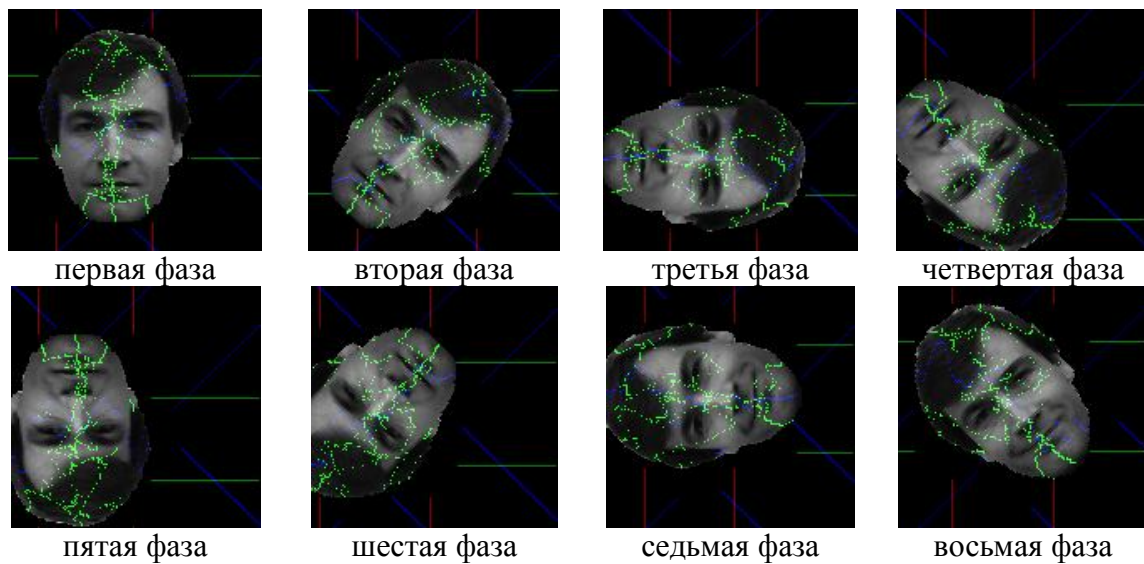


Рисунок 2 – Изображение для формирования первых фазовых коэффициентов в фазовой диаграмме при обработке изображений Agj-01.bmp

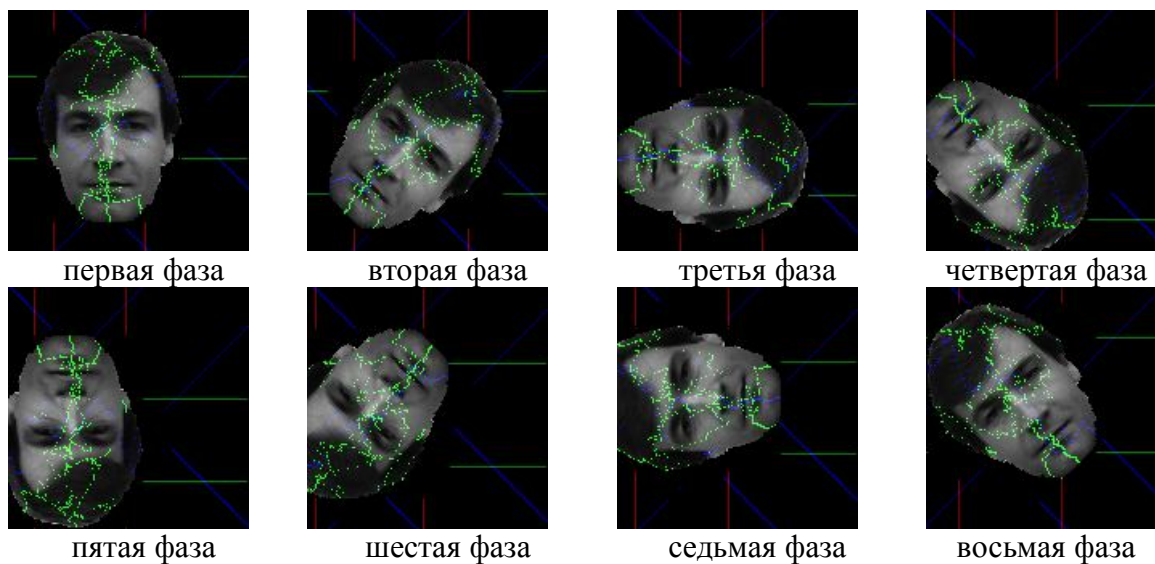


Рисунок 3 – Изображение для формирования первых фазовых коэффициентов в фазовой диаграмме при обработке изображений Agj-02.bmp

В результате обработки в соответствии с алгоритмом (рис. 1) формируется фазовая диаграмма.

Фаза №1 0.938 0.931 0.866 0.824 0.774 0.969 0.978 0.964  
 Фаза №2 0.917 0.806 0.728 0.686 0.905 0.941 0.948  
 Фаза №3 0.796 0.798 0.616 0.888 0.890 0.903  
 Фаза №4 0.823 0.708 0.584 0.602 0.736  
 Фаза №5 0.520 0.445 0.818 0.817  
 Фаза №6 0.885 0.916 0.800  
 Фаза №7 0.964 0.941  
 Фаза №8 0.956

Рисунок 4 – Фазовая диаграмма при обработке изображений AGJ\Agj-01.bmp и AGJ\Agj-02.bmp.

Соответственно с фазовой диаграммой (рис. 4) средний коэффициент корреляции составляет 0,824, что позволяет в сравнении с использованием 1 – 4 уравнивающих кривых на 5 – 10% повысить качество распознавания.

Пример № 2. Обработка по алгоритму для избыточного уравнивания изображений разных человеческих лиц, в результате чего получают коэффициенты корреляции при повороте изображений AGJ\Agj-01.bmp; ALR\Alr-01.bmp.

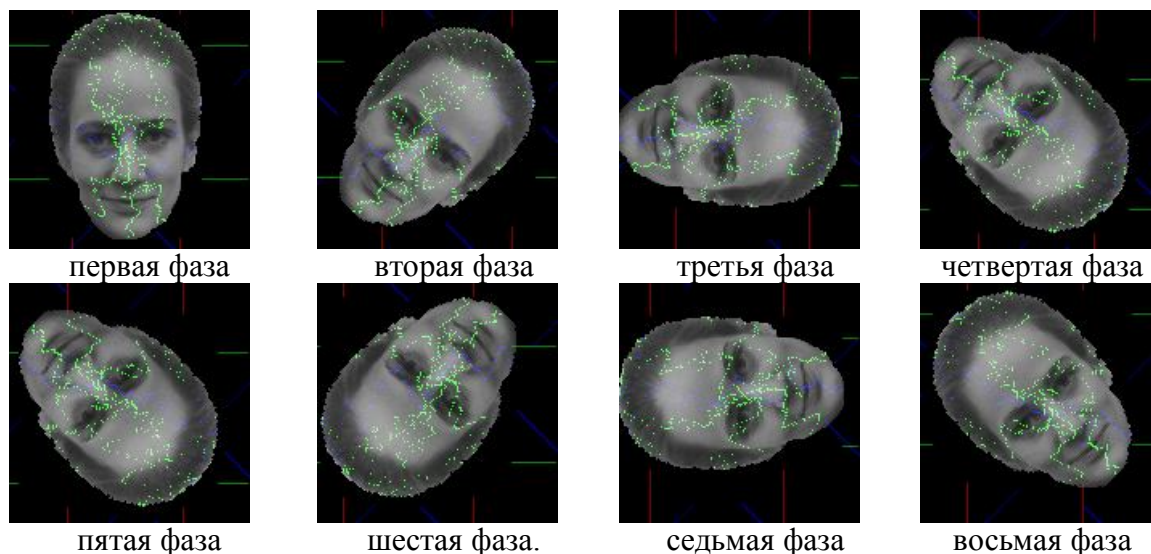


Рисунок 5 – Изображение для формирования первых фазовых коэффициентов в фазовой диаграмме при обработке изображений Alr-01.bmp

В результате обработки в соответствии с алгоритмом (рис.1) формируется фазовая диаграмма.

Фаза №1 0.499 0.571 0.533 0.126 0.327 0.617 0.712 0.735  
 Фаза №2 0.431 0.381 0.149 0.077 0.575 0.786 0.830  
 Фаза №3 0.290 0.421 0.131 0.449 0.697 0.650  
 Фаза №4 0.582 -0.024 0.055 0.513 0.455  
 Фаза №5 0.154 0.292 0.563 0.479  
 Фаза №6 0.599 0.853 0.675  
 Фаза №7 0.858 0.716  
 Фаза №8 0.767

Рисунок 6 – Фазовая диаграмма при обработке изображений AGJ\Agj-01.bmp и ALR\Alr-01.bmp

Таблица 1 – Время выполнения «точной» схемы обработки изображений с корреляционным сравнением уравнивающих кривых

Размер изображения	Время вычислений, мс			
	Уравнивание по горизонтали для 1 поля препаратов	Уравнивание по вертикали и горизонтали для 1 поля препаратов	Уравнивание по вертикали и горизонтали для 3 полей препаратов	Три шага уравниваний по вертикали и горизонтали для 3 полей препаратов
100×100	5	20	110	220
128×128	10	110	220	390
200×200	110	110	500	880
256×256	110	220	660	1320

Таблица 2 – Оценка времени традиционного корреляционного сравнения изображений

Размер изображения	Время вычислений, с
100×100	0,77
128×128	1,32
200×200	3,13
256×256	4,73

## Выводы

В соответствии с фазовой диаграммой (рис. 6) средний коэффициент корреляции при распознавании разных изображений лиц (AGJ\Agj-01.bmp и ALR\Alr-01.bmp) составляет 0,51.

При реализации на ЭВМ обработка изображений была сделана последовательной – сначала обрабатывалось первое изображение и его уравнивающие кривые были сохранены в массиве  $arsi_{ij}$ . Нахождение коэффициентов корреляции происходило после нахождения уравнивающих кривых для второго изображения.

В табл. 1 и табл. 2 приведены соответственно оценка времени выполнения «точной» схемы обработки изображений с корреляционным сравнением уравнивающих кривых и оценка времени при традиционном корреляционном сравнении изображений.

Сравнительный анализ табл. 1 и табл. 2 показывает: если для распознавания изображений использовать одну уравнивающую кривую, то сокращение временных расходов разработанного метода по сравнению с традиционным будет в 43 раза; если для распознавания изображений использовать две уравнивающие кривые, то сокращение временных расходов разработанного метода по сравнению с традиционным будет в 22 раза; если для распознавания изображений использовать шесть уравнивающих

кривых, то сокращение временных расходов разработанного метода по сравнению с традиционным будет в 7,2 раза; если для распознавания изображений использовать восемнадцать уравнивающих кривых, то сокращение временных расходов разработанного метода по сравнению с традиционным будет в 3,6 раза.

## Литература

1. Рабинович З.Л. Представление и обработка знаний во взаимодействии сенсорной и языковой нейросистем человека / З.Л. Рабинович, Г.С. Воронков // Кибернетика и системный анализ. – 1998. – № 2. – С. 3-11.
2. [Электронный ресурс]. – Режим доступа : <http://www.korrespondent.net>.
3. Хинтон Д.Е. Как обучаются нейронные сети / Д.Е. Хинтон // В мире науки. – 1992. – № 11-12. – С. 103-110.
4. Тимченко Л.І. Конвергентні та дивергентні процеси в реальних та штучних нейронних мережах / Л.І. Тимченко // Вісник ВПІ. – 1997. – № 1. – С. 5-10.
5. Свечников С.В. Квазиимпульсно-потенциальные оптоэлектронные элементы и устройства логико-временного типа / Свечников С.В., Кожем'яко В.П., Тимченко Л.И. – К. : Наукова думка, 1987. – 256 с.
6. Timchenko Leonid I. Method for Training of a Parallel-Hierarchical Network, Based on Population Coding for Processing of Extended Laser Paths Images / Leonid I. Timchenko, Yuriy F. Kutaev, Volodymyr P. Kozhemyako [и др.] // Proceedings of SPIE. – Vol. 4790. – 2002. – P. 465-479.
7. Сегментація напівтонових зображень за ознакою зв'язаності : монографія / [Железняк А.Л., Тимченко Л.І., Стасюк О.І. та ін.]. – К. : ДЕДУТ, 2008. – 144 с.
8. Паралельно-ієрархічне перетворення і  $Q$ -обробка інформації для систем реального часу : монографія / [Ковзель М.О., Тимченко Л.І., Кутаєв Ю.Ф. та ін.]. – Київ : КУЕТТ, 2006. – 492 с.
9. Тимченко Л.І. Компактний опис моделей зображень для класифікації образів / Л.І. Тимченко, С.В. Чепорнюк, Ю.Ф. Кутаєв, О.А. Герцій // Вісник ВПІ. – 1998. – № 2. – С. 72-83.
10. Aggarwal J.K. Object recognition and performance bounds / J.K. Aggarwal, Shishir Shah / Proc. Image Analysis and Processing, (Florence, Italy, September 17 – 19, 1997). – P. 343-360.
11. Кожем'яко В.П. Паралельно-ієрархічні мережі як структурно-функціональний базис для побудови спеціалізованих моделей образного комп'ютера : монографія / Кожем'яко В.П., Тимченко Л.І., Яровий А.А. – Вінниця : Універсум – Вінниця, 2005. – 161 с.
12. Timchenko L.I. A Brain-Like Approach to Multistage Hierarchical Image. Springer-Verlag Processing / L.I. Timchenko, Y.F. Kutaev, S.V. Chepornyuk [и др.] // Proc. Image Analysis and Processing, (Florence, Italy, September 17 – 19, 1997). – P. 246-253.
13. Hebb D.O. The Organization of Behavior / Hebb D.O. – Wiley, 1949.
14. Вступ в алгоритмічну теорію ієрархії і паралелізму нейроподібних обчислювальних середовищ та її застосування до перетворення зображень. Основи теорії пірамідально-сітьового перетворення зображень / [Кожем'яко В.П., Тимченко Л.І., Кутаєв Ю.Ф., Івасюк І.Д.]. – К : УМК ВО, 1994. – 272 с.

**Л.І. Тимченко, В.В. Шпакович, Н.І. Кокряцкая, О.А. Герцій**

### **Розробка надлишкової схеми обробки зображень по чотирьох напрямках**

У статті розроблений метод надлишкової схеми обробки зображень по чотирьох напрямках, наведена блок-схема алгоритму надлишкового зрівноважування, результати експериментальних досліджень.

**L.I. Tymchenko, V.V. Shpakovich, N.I. Kokryatskaya, O.A. Gertsy**

### **Development of Redundant Chart of Processing of Images on Four Directions**

The method of the redundant chart of image processing on four directions is developed. The block-scheme of redundant balancing algorithm and results of experimental investigations are presented.

*Стаття постуила в редакцію 21.04.2008.*